

养殖大菱鲆腹水症病原菌SR1的分离及鉴定

张伟斌,周丽,邢婧,��文斌

(中国海洋大学 教育部海水养殖重点实验室,山东 青岛 266003)

摘要:从患腹水症的养殖大菱鲆(*Scophthalmus maximus*)腹水中分离到1株优势细菌SR1。人工感染实验证实其具有致病性。经API ID32E系统鉴定为溶藻弧菌(*Vibrio alginolyticus*)。并测定了其16S rRNA基因序列和热休蛋白HSP60(Heat shock protein, HSP)基因序列。基于16S rRNA基因序列构建的系统树结果表明,菌株SR1与溶藻弧菌(AY967727)亲缘关系最近,然而置信度较低,仅有27%,不能有效地鉴定到种。HSP60基因序列分析表明,该菌株与溶藻弧菌(AF230931)同源性最高,为99.2%。系统发育树表明SR1与溶藻弧菌(AF230931)聚为一个分支,且置信度较高,为84%。综合上述结果,菌株SR1可鉴定为溶藻弧菌。
[中国水产科学,2006,13(4):603~609]

关键词:腹水症大菱鲆;16S rRNA基因;HSP60基因;溶藻弧菌

中图分类号:S943.399.42 文献标识码:A 文章编号:1005-8737-(2006)04-0603-07

大菱鲆(*Scophthalmus maximus*)为原产于欧洲的冷水性底栖海水鱼类,隶属于鲽形目(Pleuronectiformes)、鲆科(Bothidae)、菱鲆属(*Scophthalmus*)。营养丰富、经济价值高,是优质的海水养殖鱼类之一^[1]。自1992年引进中国以来,养殖规模逐渐扩大,疾病的发生也日渐增加,已经报道的有病毒病、细菌病和寄生虫病,其中尤以细菌病最为严重^[2~3],且细菌病方面的研究多集中在弧菌属和气单胞菌属^[4]。

2002年6月,山东省荣成地区发生大规模的大菱鲆鱼苗腹水症。本研究利用从患病鱼体腹水中分离到的1株优势细菌对健康大菱鲆进行回接感染,确定其致病性,并在常规生理生化鉴定和API系统鉴定的基础上,采用16S rRNA和HSP60基因序列分析的方法进行分类鉴定,以确定该株致病菌的分类地位并鉴定到种。本研究旨在探讨大菱鲆腹水症的病原,并进一步比较两种分子鉴定方法的优劣。

1 材料与方法

1.1 材料

患病大菱鲆取自山东荣成俚岛瓦屋石养鱼厂,病鱼共10尾,体质量(10±5)g,体长(8±1)cm,症状为腹水、体表溃疡、眼球突出等。

健康大菱鲆购自山东青岛润渤水产有限公司,共60尾,体质量(12.3±6)g,体长(10±2)cm。

Zobell 2216E培养基:酵母膏1g,蛋白胨5g,磷酸高铁0.1g,氯化钠30g,蒸馏水1L,pH 7.6~7.8,琼脂20g。

溶藻弧菌标准菌株283(LMG4408T),由中国海洋大学联合国教科文组织中国海洋生物工程中心(UNESCO-BAC)提供,来自英国Heriot-Watt大学生物学系。

1.2 病原菌的分离

取腹水症状典型的濒死病鱼,无菌条件下从体表、肝、肾、眼球等部位分离细菌,画线接种于2216E平板上,25℃培养24h,挑取形态一致的优势菌落进行纯化培养,直至获得纯培养菌(编号为SR1),2216E冻存液(15%甘油)-80℃保存备用。

1.3 人工感染实验

实验菌株25℃培养24h后,用1.5%无菌生理盐水洗脱得菌悬液,McFarland比浊法将细菌浓度定为 9×10^8 CFU/mL,10倍系列稀释菌悬液至浓度为 9×10^7 CFU/mL, 9×10^6 CFU/mL, 9×10^5 CFU/mL和 9×10^4 CFU/mL。

实验用健康大菱鲆每5尾1组,按不同菌悬液浓度分为5个实验组,并设生理盐水对照组,每组设

收稿日期:2005-11-28;修訂日期:2006-01-10。

基金项目:国家自然科学基金项目(30271016);山东省教育厅科技计划项目(032070104);教育部海水养殖重点实验室开放基金项目(200212)。

作者简介:张伟斌(1980-),女,硕士,水生生物学专业。E-mail:weibin@zjhu.edu.cn

通讯作者:周丽(1963-),女,博士,教授。E-mail:zhouli@ouc.edu.cn

2个重复,共60尾。养殖水温为17~18℃,全天充气,每天投饵、换水。暂养7 d后,背鳍下方肌肉注射0.1 mL不同浓度的菌悬液,对照组注射同体积的无菌生理盐水(1.5%)。定时观察记录,取濒死鱼的病灶及内脏器官进行细菌再分离,所分离菌株(编号为SR1-1)再次感染大菱鲆,观察结果。

1.4 细菌鉴定

1.4.1 常规鉴定及 API 系统鉴定 菌株 SR1、SR1-1 及标准菌株 283 的生理生化特征实验参照《常见细菌系统鉴定手册》^[5]和《伯杰氏细菌学鉴定手册》(第九版)^[6]进行,快速鉴定采用法国生物梅里埃公司 mini API 鉴定系统 ID32E 鉴定条。

1.4.2 16S rRNA 和 HSP60 基因序列测定和分析

(1) 模板 DNA 的制备 菌株 SR1 于 2216E 平板 25℃ 培养 24 h。挑取单一菌落悬浮于无菌去离子水中,100℃ 水浴 5 min,冷却后 4℃ 12 000 r/min 离心 10 min,上清液即为 PCR 扩增反应的模板。

(2) 基因序列的 PCR 扩增与测序 用于 16S rRNA 基因 PCR 扩增的正向引物为 27F: 5'-A-GAGTTTGATC(C/A) TGGCTCAG - 3' (对应于 *E. coli* 16S rRNA 基因的第 8~27 个碱基位置),反向引物为 1492R: 5'-TACGG(C/T) TACCTTGT-TACTT - 3' (对应于 *E. coli* 16S rRNA 基因的第 1 492~1 510 个碱基位置)^[7]。100 μL PCR 反应体系中含有:10 μL 10×PCR 缓冲液,6 μL 25 mmol/L MgCl₂,2 μL 10 mmol/L 4×dNTP,引物各 1 μL,*Taq* DNA 聚合酶(5 U/μL)1 μL,模板 DNA 2.5 μL。PCR 反应条件为:94℃ 预变性 4 min;接 94℃ 变性 30 s,55℃ 复性 30 s,72℃ 延伸 100 s,30 个循环;最后 72℃ 温育 6 min。

HSP60 基因 PCR 扩增的正向引物为 P1: 5'-

ACAACAGCAACGGTACTAGC - 3', 反向引物为 P2: 5'- CAACTTTCACGATGCCAC - 3'^[8]。PCR 反应体系同 16S rRNA 基因。反应条件为:94℃ 预变性 2 min;接着 94℃ 30 s,50℃ 45 s,72℃ 60 s,30 个循环;72℃ 延伸 7 min。PCR 产物经琼脂糖电泳确定特异条带后,交由上海生物工程技术公司进行 PCR 产物的纯化和序列测定。

(3) 序列分析与系统发育树的构建 菌株 SR1 的 16S rRNA 和 HSP60 基因序列已经提交 GenBank 核苷酸序列数据库,存取号分别为 DQ269211 和 DQ269210。通过 Blast 从国际互联网 GenBank 数据库中检索与其同源性较高的细菌基因序列,从中选取与所分析的细菌基因序列同源性较高的已知菌株,采用 ClustalX1.8 软件进行多序列匹配排列,用 Mega 2.1 采用邻位相连法(Neighbor-joining method)获得系统发育树,通过自举分析(Bootstrap)进行置信度检测,自举数集 1 000 次。

2 结果

2.1 人工感染实验

感染实验结果见表 1。人工感染后实验鱼摄食量减少,活动减弱,出现腹水,个别死亡鱼眼球突出。死鱼解剖检查,可见肝脏发白,肛门红肿,内有黄脓样物流出。对照组不表现任何症状。从病鱼腹水、肝脏和眼球分离细菌,用优势菌 SR1-1 再次感染大菱鲆,得到相同的结果。表明 SR1 是大菱鲆腹水症的致病菌。

按改进的寇氏法^[3]计算菌株 SR1 的半致死量 LD₅₀ = 1.4 × 10⁶ CFU/尾,表明 SR1 为较强毒力的菌株。

表 1 人工感染实验结果

Tab. 1 Results of artificial infection experiment

分组 Group	菌液浓度/(CFU·mL ⁻¹) Bacterial concentration	剂量/mL Dose	实验数/尾 Test No.	死亡数/尾 Death No.	死亡率/% Mortality
1	9 × 10 ⁸	0.1	10	10	100
2	9 × 10 ⁷	0.1	10	8	80
3	9 × 10 ⁶	0.1	10	4	40
4	9 × 10 ⁵	0.1	10	1	10
5	9 × 10 ⁴	0.1	10	0	0
对照 Control	1.5% NaCl	0.1	10	0	0

2.2 菌株鉴定

2.2.1 生理生化特征 菌株 SR1 和 SR1-1 均革兰氏染色阴性, 杆状, 具有运动性, 电镜照片示 SR1 有一根很长的极生单鞭毛(图 1)。在 TCBS 培养基上菌落均呈黄色。常规生化测试表明, 其氧化酶和接触酶均呈阳性, 发酵葡萄糖产酸, 对弧菌抑制剂 O/129(2,4-二氨基-6,7-二异丙基嘌呤, 150 μg)敏感。根据这些特征, 可初步判定为弧菌属细菌(*Vibrio* sp.)。经 API 系统鉴定, 2 株菌都为溶藻弧菌(*V. alginolyticus*)。

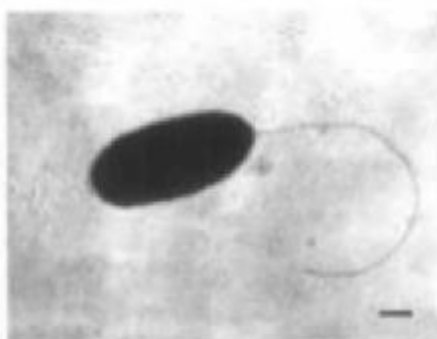


图 1 菌株 SR1 的电镜照片(标尺 = 200 nm)

Fig. 1 Electron micrograph of strain SR1
(bar = 200 nm)

对菌株 SR1 和 SR1-1 进一步进行其他生理生化测试, 并且将测试结果与溶藻弧菌标准菌株 283 及弧菌属其他部分细菌的表型特征^[5-6]进行了比较(表 2)。根据比较结果, 菌株 SR1 和 SR1-1 生理生化特征一致, 与溶藻弧菌标准菌株 283 仅在 D-甘露醇作为唯一碳源利用方面不同; 与副溶血弧菌在 V.P. 反应、鸟氨酸脱羧、赖氨酸脱羧、D-甘露醇和蔗糖作为唯一碳源利用等 5 方面不同; 与鳗弧菌生物变种 I 在 40 ℃ 生长、精氨酸双水解、D-甘露醇、D-山梨醇、L-阿拉伯糖和纤维二糖等 6 个方面不同; 与哈维氏弧菌在 V.P. 反应、鸟氨酸脱羧、赖氨酸脱羧、D-甘露醇和纤维二糖等 5 方面不同。结果表明, 在生理生化表型特征上菌株 SR1 和 SR1-1 与溶藻弧菌最为接近。

2.2.2 基因序列分析和系统发育树的构建 为了从分子水平上对菌株 SR1 进行鉴定, 测定了其 16S rRNA 和 HSP60 基因序列。以总 DNA 为模板, 经通用引物 27F 和 1492R 扩增到约 1 500 bp 条带, 经引物 P1 和 P2 扩增到约 500 bp 的条带(图 2)。

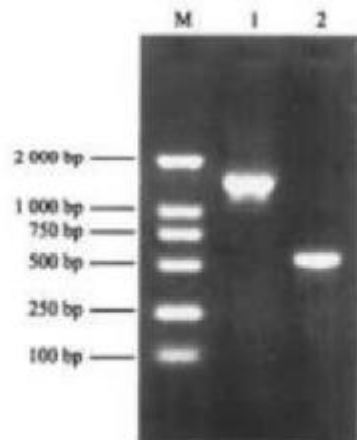


图 2 菌株 SR1 的 16S rRNA 和 HSP60 基因的 PCR 扩增产物

M - Marker; 1 - 菌株 SR1 的 16S rRNA 基因的 PCR 扩增产物; 2 - 菌株 SR1 的 HSP60 基因的 PCR 扩增产物

Fig. 2 PCR amplified products of 16S rRNA and HSP60 genes of strain SR1

M - Marker; 1 - 16S rRNA gene PCR product of strain SR1; 2 - HSP60 gene PCR product of strain SR1

不包括引物结合区, 所扩增的 16S rRNA 基因序列长度为 1 431 bp。将菌株 SR1 的 16S rRNA 基因序列用 Blast 在国际互联网上进行检索, 发现其与弧菌属的 16S rRNA 基因序列自然聚类, 在相近的 100 个序列中, 88 个为弧菌属细菌的 16S rRNA 基因序列, 菌株 SR1 与它们的同源性为 97%~99%。从这 100 个序列中选取 25 个进行系统发育学分析, 结果如图 3 所示, 菌株 SR1 与 *V. alginolyticus* (AY967727) 聚合。然而置信度较低, 仅有 27%, 尚不能据此确定其种的分类地位。

扩增到的菌株 SR1 的 HSP60 基因部分序列长度为 507 bp, Blast 分析显示, 该序列与 *V. alginolyticus* (AF230931) 最为接近, 相似性达到 99.2%。系统发育树结果表明, 该菌株与 *V. alginolyticus* (AF230931) 聚为一个分支, 且置信度较高, 为 84%, 然后再和 *V. alginolyticus* (AF230930) 聚合(图 4)。综合菌株 SR1 的生理生化特征和 16S rRNA、HSP60 基因序列分析结果, 将这株大菱鲆腹水症的致病菌鉴定为溶藻弧菌。

表2 菌株 SR1, SR1-1 与 283 及弧菌属部分细菌生理生化特征的比较
Tab.2 Comparison of physiological and biochemical characteristics of SR1, SR1-1 and 283 and some members of genus *Vibrio*

鉴定项目 Items	SR1	SR1-1	283	副溶血弧菌	鳗弧菌生物变种 I	哈维氏弧菌 <i>V. harveyi</i>
				<i>V. parahaemolyticus</i>	<i>V. anguillarum</i> biovar I	
氧化酶反应 Oxidase	+	+	+	+	+	+
V.P. 反应 Voges-Proskauer	+	+	+	-	+	-
生长需要 Na ⁺ Na ⁺ required for growth	+	+	+	+	+	+
从 D-葡萄糖产气 D-Glucose, gas	-	-	-	-	-	-
还原硝酸盐 Nitrate reduction	+	+	+	+	+	+
O/129(150 μg) 敏感 O/129(150 μg) sensitivity	+	+	+	+	+	+
4℃ 生长 4℃, growth	-	-	-	-	-	-
30℃ 生长 30℃, growth	+	+	+	+	+	+
35℃ 生长 35℃, growth	+	+	+	+	+	+
40℃ 生长 40℃, growth	+	+	+	+	-	d
明胶酶 Gelatinase	+	+	+	+	+	+
淀粉酶 Amylase	+	+	+	+	+	+
鸟氨酸脱羧酶 Ornithine decarboxylase *	-	-	-	+	-	+
精氨酸双水解酶 Arginine dihydrolase *	-	-	-	-	+	-
赖氨酸脱羧酶 Lysine decarboxylase *	-	-	-	+	-	+
利用:肌醇 Utilization of: myo-Inositol *	-	-	-	-	d	-
D-甘露糖 D-Mannitol	-	-	+	+	+	+
D-山梨糖 D-Sorbitol	-	-	-	-	+	-
海藻糖 Trehalose *	+	+	+	+	+	+
D-甘露糖 D-mannose	+	+	+	+	+	+
D-半乳糖 D-galactose	+	+	+	+	d	d
蔗糖 sucrose *	+	+	+	-	+	d
鼠李糖 Rhamnose *	-	-	-	-	-	-
L-阿拉伯糖 L-arabinose *	-	-	-	d	+	d
纤维二糖 Cellobiose *	-	-	-	-	+	+
水杨苷 Salicin	-	-	-	-	-	d
柠檬酸盐 Citrate	+	+	+	+	+	+
半乳糖醛酸盐 Galacturonate *	-	-	-	-	-	-

注：“+”阳性；“-”阴性；“d”11%~89%菌株呈阳性；“*”ID32E 试剂条的部分指标。

Note: “+”positive; “-”negative; “d”11%~89% of strains are positive; “*”partial items of ID32E.

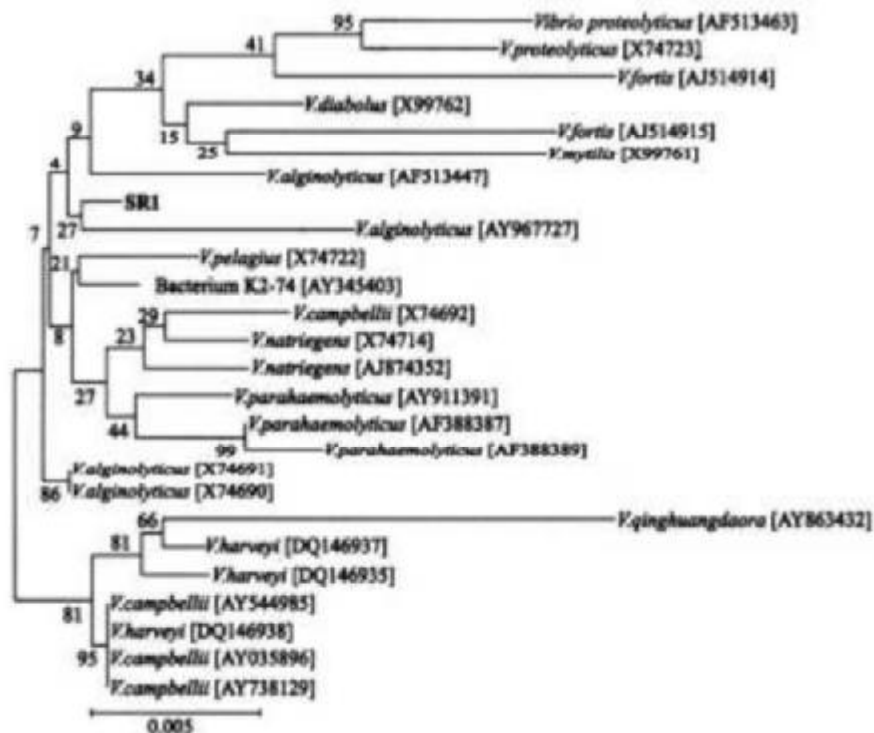


图 3 以 16S rRNA 基因构建的弧菌系统发育树
Fig. 3 Phylogenetic tree of *Vibrio* based on 16S rRNA genes

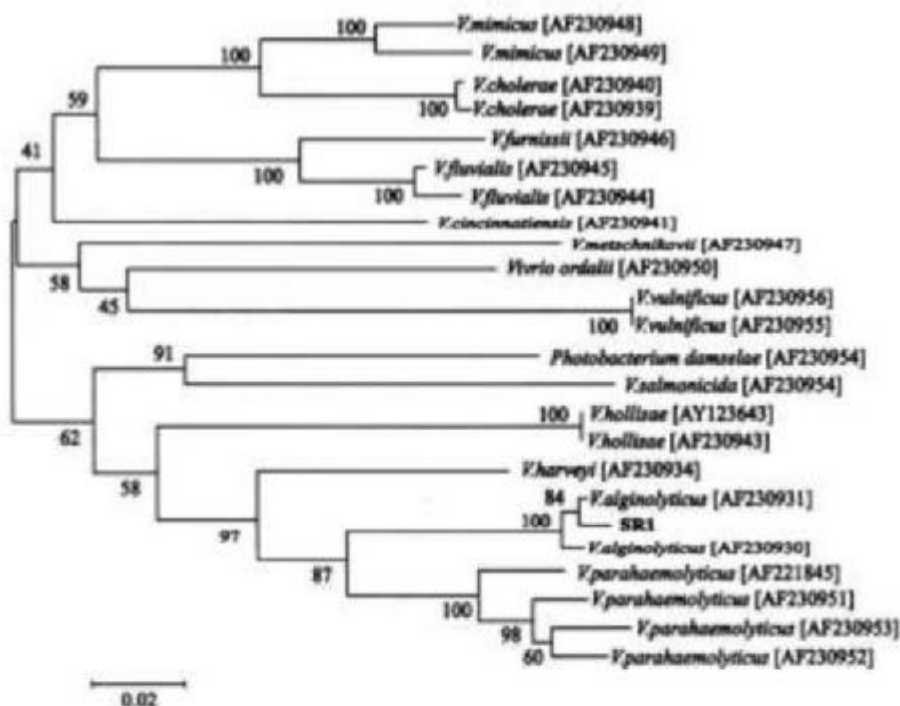


图 4 以 HSP60 基因构建的弧菌系统发育树
Fig. 4 Phylogenetic tree of *Vibrio* based on HSP60 genes

3 讨论

传统的细菌学鉴定方法发现菌株 SR1 为革兰氏阴性杆菌, 具有运动性, 氧化酶和接触酶阳性, 发酵葡萄糖产酸, 对弧菌抑制剂 O/129 敏感, 符合弧菌科弧菌属的典型特征。API 系统鉴定表明, SR1 为溶藻弧菌。但是, 由于 API 系统主要适用于临床和陆地环境的细菌鉴定, 其数据库中没有足够的海洋细菌的特征资料, 用于鉴定海洋细菌有一定的局限性。因此在本实验中, API 系统的鉴定指标仅作为参考, 同时参照文献[5]和文献[6]对该菌株进行了其他生理生化指标的测定。结果表明, 菌株 SR1 与弧菌属的溶藻弧菌最接近, 而与其他弧菌差别较大。

随着分子生物学的发展, 现代细菌分类鉴定从传统的表型分类进入基因型分类水平, 16S rRNA 分析已成为研究生命系统进化及细菌分类的常用工具。从 16S rRNA 基因序列系统发育树上看, 该菌株与 *V. alginolyticus* (AY967727) 聚合在一起, 然而置信度仅为 27%; 另外, 本实验构建的系统发育树中很多节点置信度都很低, 这可能是由于弧菌属 16S rRNA 基因序列的种间差异不显著, 导致弧菌不具有唯一的聚类特征, 这与 Kim 等的观点一致^[9]。同时也证明了 16S rRNA 基因序列同源性分析不适宜用于亲缘关系较近的弧菌种之间的鉴别。

热激蛋白(Heat shock protein, HSP)是另一类常用于生物进化和分类研究的大分子物质, 广泛存在于细菌及真核生物细胞中, 其主要功能是作为分子伴侣参与蛋白质肽链折叠和组装, 进化速度比 16S rRNA 快, 携带更多的多态信息^[8, 10]。本实验以 HSP60 基因构建的系统树, 绝大部分主要分支的置信度都在 70% 以上, 说明该序列应用于海洋弧菌系统演化研究的有效性和可靠性; 另外, 本研究发现, 以 HSP60 基因构建的系统树在置信度上普遍明显高于 16S rRNA 基因。这与李宁求^[8]、Kwok 等^[11]认为 HSP60 基因比 16S rRNA 基因更适合于海洋弧菌分类研究的结论一致。

目前国内外报道的大菱鲆的弧菌属病原菌主要有鳗弧菌 (*V. anguillarum*)、灿烂弧菌 (*V. splendidus*)、海利斯顿氏菌 (*V. pelagius*)、美人鱼弧菌 (*V. damsela*) 等^[3-4, 12-14]。而关于溶藻弧菌的报道很少, 仅见于大菱鲆的育苗期^[15-16]。

Tanasomwang^[17]发现溶藻弧菌可以引起牙鲆 (*Paralichthys olivaceus*) 苗种和幼鱼的腹水症。而关于大菱鲆腹水症的病原菌, 则未见报道。本实验从患腹水症的大菱鲆体内分离到致病性的溶藻弧菌, 是养殖大菱鲆腹水症的基础性研究。

参考文献:

- [1] 常界群, 刘新富. 大菱鲆 (*Scophthalmus maximus*) 引进养殖的初步研究[J]. 现代渔业信息, 1995, 10(11): 1-3.
- [2] 程开敏, 俞开康, 戴文斌, 等. 大菱鲆疾病的研究进展[J]. 鱼类病害研究, 2001, 23(2): 33-38.
- [3] 邹玉微, 张培军, 真照兰, 等. 大菱鲆出血症病原菌的分离和鉴定[J]. 高技术通讯, 2004, 14(4): 89-93.
- [4] 张正, 王印度, 杨官品, 等. 大菱鲆 (*Scophthalmus maximus*) 细菌性疾病的研究现状[J]. 海洋珊瑚通报, 2004, 3: 83-89.
- [5] 东秀珠, 郑妙英. 常见细菌系统鉴定手册 [M]. 北京: 科学出版社, 2001.
- [6] Bergey's Manual of Determinative Bacteriology Ninth Edition [M]. Maryland: Williams & Wilkins, 1994.
- [7] Poole M F, Covenagh C M. Bias in template-to-product ratios in multitemplate PCR [J]. Appl Environ Microbiol, 1998, 64(10): 3724.
- [8] 李宁求, 白俊杰, 吴淑勤, 等. 斑带石斑鱼 3 种致病弧菌的分子生物学鉴定[J]. 水产学报, 2005, 29(3): 356-361.
- [9] Kim Y B, Okuda J, Matsumoto C, et al. Identification of *Vibrio*-*Parahaemolyticus* strains at the species level by PCR targeted to the *sxtR* gene[J]. J Clin Microbiol, 1999, 37: 1173-1177.
- [10] Kwok A Y, Chow A W. Phylogenetic study of *Staphylococcus* and *Macrococcus* based on partial *Hsp60* gene sequences[J]. J Syst Evol Microbiol, 2003, 53(1): 87-92.
- [11] Kwok A Y, Wilson J T, Coulthard M, et al. Phylogenetic study and identification of human pathogenic *Vibrio* species based on partial *Hsp60* gene sequences[J]. Can J Microbiol, 2002, 48(10): 903-910.
- [12] Gessoupe F J, Lambert C, Niclou J L. Pathogenicity of *Vibrio splendens* strains associated with turbot larvae, *Scophthalmus maximus*[J]. J Appl Microbiol, 1999, 87(5): 757-763.
- [13] Vilamur L, Figueras A, Toranzo A E, et al. Isolation of a highly pathogenic *Vibrio pelagius* strain associated with mass mortalities of turbot, *Scophthalmus maximus*, larvae[J]. J Fish Dis, 2003, 26(5): 293-303.
- [14] Novos B, Nunez S, Fernandez et al. Epizootic study in a turbot farm: bacteriology, virology, parasitology and histology[J]. Aquaculture, 1992, 107: 253-258.
- [15] Austin B, Stobie M, Robertson P A W, et al. *Vibrio alginolyticus*: the cause of gill disease leading to progressive low-level mortalities among juvenile turbot, *Scophthalmus maximus* L. in a Scottish aquarium[J]. J Fish Dis, 1993, 16: 277-280.

- [16] 姚志刚,丁天宝.大菱鲆育苗期的细菌病研究[J].海洋科学,2004,28(9): 10-12.
- [17] Taraxacwang V. Intestinal microflora of larval and juvenile stages in Japanese flounder (*Psettichthys olivaceus*)[J]. Fish Pathol, 1988, 23(2): 77-83.

Isolation and identification of pathogen SR1 associated with swollen abdomen of cultured turbot (*Scophthalmus maximus*)

ZHANG Wei-ni, ZHOU Li, XING Jing, ZHAN Wen-bin

(The Key Laboratory of Mariculture, Ministry of Education, Ocean University of China, Qingdao 266003, China)

Abstract: Bacterial strain SR1, which was isolated from the ascites of cultured turbot (*Scophthalmus maximus*) with swollen abdomen, was proved to be a pathogen by muscle injection experiments. By API ID32E systematic identification, strain SR1 was identified as *Vibrio alginolyticus*, and 16S rRNA and heat shock protein (HSP60) genes partial sequences were determined. Phylogenetic tree of *Vibrio* based on 16S rRNA gene indicated that strain SR1 showed the highest level of similarity to *V. alginolyticus* (AY967727), but the bootstrap was only 27% which was too low to give identification of the strain effectively. Sequences analysis of HSP60 gene revealed that strain SR1 exhibited the highest level of 99.2% similarity to *V. alginolyticus* (AF230931). Phylogenetic tree based on HSP60 gene showed that strain SR1 clustered together with *V. alginolyticus* (AF230931), and had high bootstrap which was 84%. Based on the results obtained, strain SR1 was identified as *V. alginolyticus*. [Journal of Fishery Sciences of China, 2006, 13(4): 603-609]

Key words: *Scophthalmus maximus*; swollen abdomen; 16S rRNA gene; HSP60 gene; *Vibrio alginolyticus*